

제 9 장 흙의 전단강도

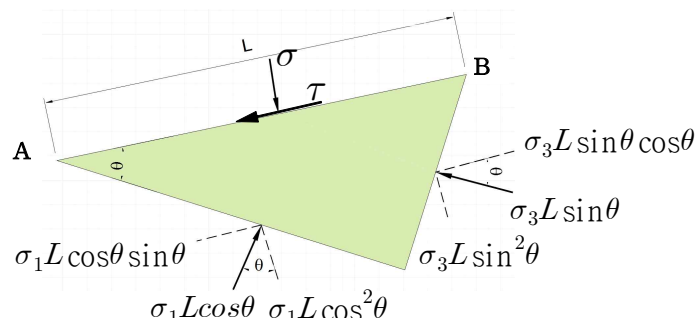
· 지반 재료(Geomaterials)

~흙, 암석, 콘크리트

· 전단강도(Shear Strength)

~흙의 과과 활동면에서 발휘되는 최대 전단응력

9.2 주응력과 Mohr 원



· 주응력(σ_1, σ_3) - 전단응역이 '0'인 면의 수직응력

· Mohr 원

※기호 규약 - 수직응력 : 압축력 +

전단응력 : 반시계방향 +

$$\textcircled{1} \sum F_x = 0 \quad (\text{빗면 AB에 평행한 방향})$$

$$\tau \cdot L = \sigma_1 \cdot L \cdot \cos\theta \cdot \sin\theta - \sigma_3 \cdot L \cdot \sin\theta \cdot \cos\theta \quad \text{---(1)}$$

$$\textcircled{2} \sum F_y = 0 \quad (\text{빗면 AB에 수직한 방향})$$

$$\sigma \cdot L = \sigma_1 \cdot L \cdot \cos^2\theta + \sigma_3 \cdot L \cdot \sin^2\theta \quad \text{-----(2)}$$

(1)식에서

$$\tau = (\sigma_1 - \sigma_3) \cdot \cos\theta \cdot \sin\theta$$

$$= (\sigma_1 - \sigma_3) \cdot \frac{1}{2} \cdot \sin 2\theta \quad \text{-----(3)}$$

$$\begin{aligned} cf. \sin(\alpha + \beta) &= \sin\alpha \cos\beta + \cos\alpha \sin\beta \\ \cos(\alpha + \beta) &= \cos\alpha \cos\beta - \sin\alpha \sin\beta \\ \rightarrow \sin 2\theta &= 2 \sin\theta \cos\theta \\ \rightarrow \sin^2\theta &= \frac{(1 - \cos 2\theta)}{2} \end{aligned}$$

(2)식에서

$$\sigma = \sigma_1 \cdot \cos^2\theta + \sigma_3 \cdot \sin^2\theta = \sigma_1 \cdot (1 - \sin^2\theta) + \sigma_3 \cdot \sin^2\theta$$

$$= \sigma_1 - (\sigma_1 - \sigma_3) \cdot \sin^2\theta = \frac{\sigma_1 + \sigma_3}{2} + \frac{\sigma_1 - \sigma_3}{2} - (\sigma_1 - \sigma_3) \left(\frac{1 - \cos 2\theta}{2} \right)$$

$$= \frac{\sigma_1 + \sigma_3}{2} + \frac{\sigma_1 - \sigma_3}{2} \cdot \cos 2\theta \quad \text{-----(4)}$$

$$(3)^2 \text{식} \Rightarrow \tau^2 = \left(\frac{\sigma_1 - \sigma_3}{2} \right)^2 \cdot (\sin 2\theta)^2$$

$$(4)^2 \text{식} \Rightarrow \left(\sigma - \frac{\sigma_1 + \sigma_3}{2} \right)^2 = \left(\frac{\sigma_1 - \sigma_3}{2} \right)^2 \cdot (\cos 2\theta)^2$$

$$\begin{aligned} (3)^2 \text{식} + (4)^2 \text{식} &\Rightarrow \tau^2 + \left(\sigma - \frac{\sigma_1 + \sigma_3}{2} \right)^2 \\ &= \left(\frac{\sigma_1 - \sigma_3}{2} \right)^2 \cdot (\sin 2\theta)^2 + \left(\frac{\sigma_1 - \sigma_3}{2} \right)^2 \cdot (\cos 2\theta)^2 \\ &= \left(\frac{\sigma_1 - \sigma_3}{2} \right)^2 \end{aligned}$$

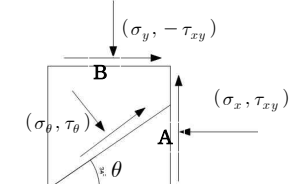
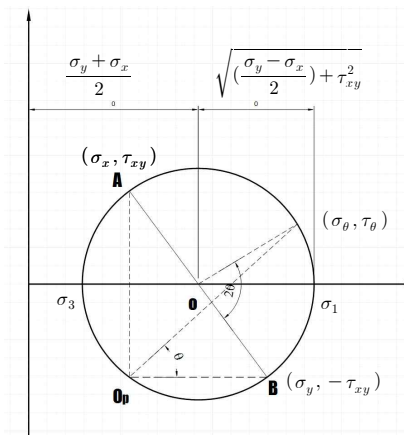
$$\rightarrow (\sigma - \frac{\sigma_1 + \sigma_3}{2})^2 + \tau^2 = \left(\frac{\sigma_1 - \sigma_3}{2} \right)^2 ; \text{ 주응력 상태에서의 Mohr 원}$$

cf. 원의 방정식 : $(x - a)^2 + (y - b)^2 = r^2$

$$x = \sigma, y = \tau, a = \frac{\sigma_1 + \sigma_3}{2}, b = 0, r = \frac{\sigma_1 - \sigma_3}{2}$$

일반적인 응력상태에서의 모아원

$$(\sigma - \frac{\sigma_y + \sigma_x}{2})^2 + \tau^2 = \left(\frac{\sigma_y - \sigma_x}{2} \right)^2 + \tau_{xy}^2$$



$$\sigma_\theta = \frac{\sigma_y + \sigma_x}{2} + \frac{\sigma_y - \sigma_x}{2} \cos 2\theta + \tau_{xy} \sin 2\theta$$

$$\tau_\theta = \frac{\sigma_y - \sigma_x}{2} \sin 2\theta - \tau_{xy} \cos 2\theta$$

※ 평면 기접(Op)

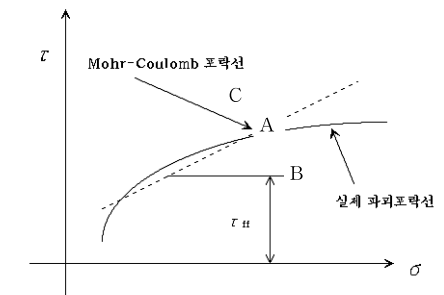
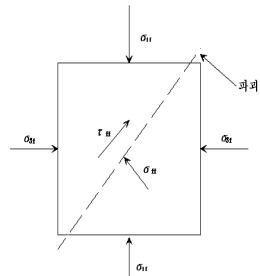
~Mohr 원에서 임의면에 작용하는 응력의 크기와 방향을 정하기 위한 기접
선정방법: Mohr 원 상에서 응력의 크기와 방향을 알고 있는 점에서 그 응력이 작용하는
면과 평행하게 그었을 때 Mohr 원과 만나는 점.

- 최대 전단력 과 주응력 방향

$$\frac{d\tau}{d\theta} = (\sigma_y - \sigma_x) \cos 2\theta + 2\tau \sin 2\theta = 0 \rightarrow \tan 2\theta_s = \frac{(\sigma_x - \sigma_y)}{2\tau}$$

$$\tan 2\theta_s = -\frac{1}{\tan 2\theta_p} \rightarrow \sin 2\theta_s \cos 2\theta_p + \cos 2\theta_s \sin 2\theta_p = 0, \cos(2\theta_s - 2\theta_p) = 0$$

$$\rightarrow \theta_s = \theta_p \pm 45^\circ$$



평면변형률에 대한 모아원 적용법

응력	변형률
σ_x	ϵ_x
σ_y	ϵ_y
τ_{xy}	$\gamma_{xy}/2$

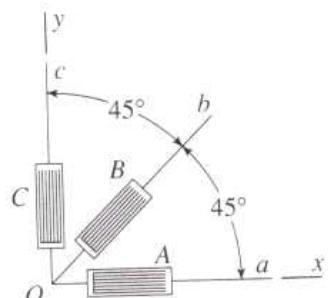
$$(\epsilon - \frac{\epsilon_y + \epsilon_x}{2})^2 + (\frac{\gamma}{2})^2 = (\frac{\epsilon_y - \epsilon_x}{2})^2 + (\frac{\gamma_{xy}}{2})^2$$

$$\epsilon_\theta = \frac{\epsilon_y + \epsilon_x}{2} + \frac{\epsilon_y - \epsilon_x}{2} \cos 2\theta + \frac{\gamma_{xy}}{2} \sin 2\theta$$

$$\frac{\gamma_\theta}{2} = \frac{\epsilon_y - \epsilon_x}{2} \sin 2\theta - \frac{\gamma_{xy}}{2} \cos 2\theta$$

예제)

다음과 같은 스트레인 로드에에서 $\epsilon_a = 10, \epsilon_c = 10, \epsilon_b = 20$ 을 측정하였다. 최대주변형률(ϵ_1)은 ?



ans)

$$\rightarrow \epsilon_x = \epsilon_a, \epsilon_y = \epsilon_c \text{ for } \theta = 45^\circ \quad \epsilon_\theta = \epsilon_{45} = \epsilon_b \text{므로}$$

$$\epsilon_\theta = \epsilon_b = \frac{\epsilon_c + \epsilon_a}{2} + \frac{\epsilon_c - \epsilon_a}{2} \cos 90^\circ + \frac{\gamma_{xy}}{2} \sin 90^\circ = 10 + 0 + \frac{\gamma_{xy}}{2} = 20$$

$$\rightarrow \gamma_{xy} = 20 \text{ (반시계 방향) 따라서}$$

$$\epsilon_1 = \frac{\epsilon_y + \epsilon_x}{2} + \sqrt{\left(\frac{\epsilon_y - \epsilon_x}{2}\right)^2 + \left(\frac{\gamma_{xy}}{2}\right)^2} = 10 + \sqrt{10^2} = 20 \text{ (압축)}$$

9.3 Mohr - Coulomb 파괴이론

- Mohr 이론

$$\tau_{ff} = s = f(\sigma_f)$$

C점의 응력상태 = 존재 하지 않음.

A점의 응력상태 = 파괴시(소성상태)

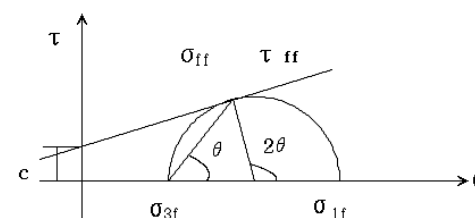
B점의 응력상태 = 파괴가 일어나지 않는 상태(탄성상태).

- Coulomb 이론

$$\tau_{ff} = c + \sigma \cdot \tan \phi$$

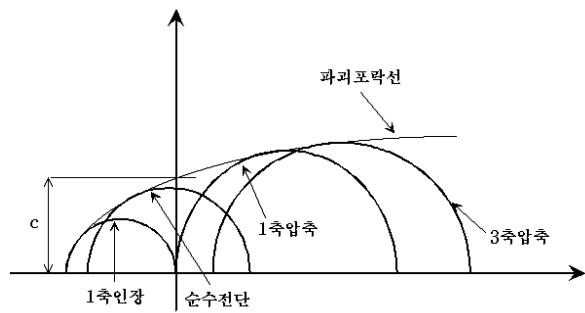
- Mohr-Coulomb 이론

$$\tau_{ff} = s = c + \sigma \cdot \tan \phi$$



$$\Theta_f = \frac{\phi}{2} + 45^\circ$$

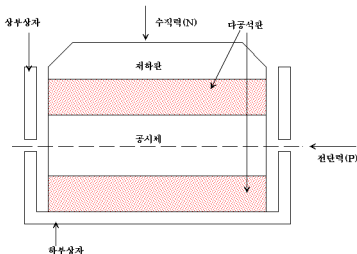
9.4.2 3축압축 시험



9.4 실험실에서의 전단강도의 특성

- ① 직접 전단강도 ② 1축압축 시험 ③ 3축압축 시험

9.4.1 직접 전단강도



$$\tau_{ff} = \frac{P}{A} \quad \sigma_{ff} = \frac{N}{A}$$

1) 장점 : 간단·간편

2) 단점 : 배수조절이 힘들고, 파괴면이 고정되었다.

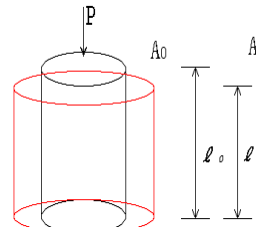
전단응력이 고루 분포되지 않는다.

⇒ 주로 사질토 대상 시험 (\because 배수조절이 쉬우므로)

$\Rightarrow \phi(\text{직접}) > \phi(\text{삼축}) \approx \phi(\text{현장})$ (\because 파괴면이 고정되므로)

⇒ 압밀 단계 + 전단 단계

시험 종류 UU시험 (비압밀 비배수) - 성토직후
 CU시험 (압밀 비배수) - 성토후 시험(1차 압밀후)
 CD시험 (압밀 배수) - 장시간이 지난후



* 시료 : 공시체 (직경 : 길이 = 1 : 2)

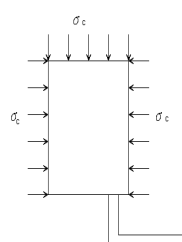
$$\sigma_{ff} = \frac{P}{A_c}$$

$$\frac{V_0 - V_c}{V_0} = \frac{A_c \cdot (l_0 - \Delta l)}{A_0 \cdot l_0}$$

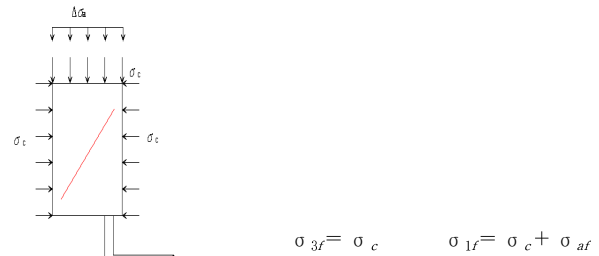
$$A_c = A_0 \cdot \frac{1 - \frac{\Delta V}{V_0}}{1 - \frac{\Delta l}{l_0}} = A_0 \cdot \frac{1 - \varepsilon_v}{1 - \varepsilon_0}$$

1) UU시험 (비압밀 비배수 시험)

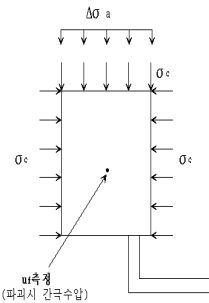
< 압밀단계 >



< 전단단계 > - 배수시 과잉 간극수압이 되지 않도록



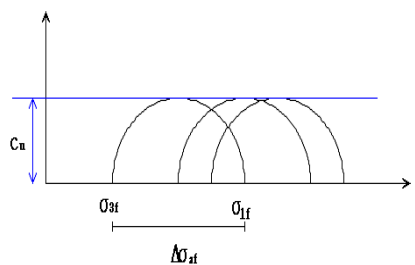
< 전단단계 >



$$\sigma'_{1f} = \sigma_{1f} - u_f$$

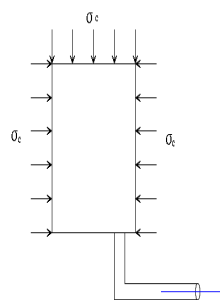
$$\sigma'_{3f} = \sigma_{3f} - u_f$$

3) 압밀 배수 시험(CD시험)

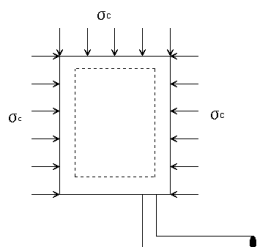


2) 압밀 비배수(CU, CU)

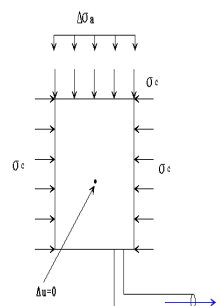
< 압밀단계 >



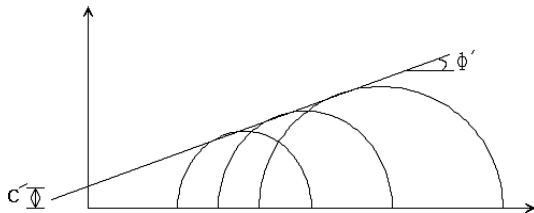
< 압밀단계 >



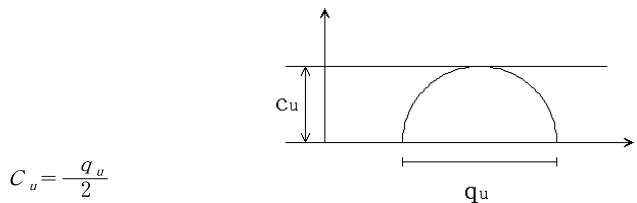
< 전단단계 >



* 시간이 오래 걸린다 (과잉 간극수압을 발생하기 않기 위해) 전용력 = 유효용력



9.4.3 1축 압축시험



◆ 예민비 - 교란되지 않은 시료와 교란된 시료의 강도비

$$S_t = \frac{q_u}{q_{ur}}$$

◆ quick clay : 예민비가 아주 커서 강도가 떨어지는 흙 (접토)

◆ quick sand : 분사현상이 발생되는 모래

◎ 불포화토의 전단강도

by Fredlund

순수직응력: $\sigma - u_a$ 모관흡수력: $u_a - u_w$

$$\tau_f = c' + (\sigma - u_a) \tan\phi' + (u_a - u_w) \tan\phi^b \quad \text{여기서 } \phi' : \text{내부마찰각, } \phi^b : \text{흡수마찰각}$$

$$\text{if } S = 100 \text{ then } u_a \rightarrow u_w \Rightarrow \tau_f = c' + (\sigma - u_w) \tan\phi'$$

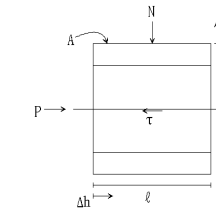
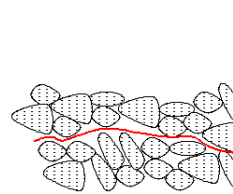
-걸보기 점착력 \bar{c}

$$\bar{c} = c' + (u_a - u_w) \tan\phi^b \Rightarrow \tau_f = \bar{c} + (\sigma - u_a) \tan\phi'$$

9.5 접성이 없는 흙의 전단강도

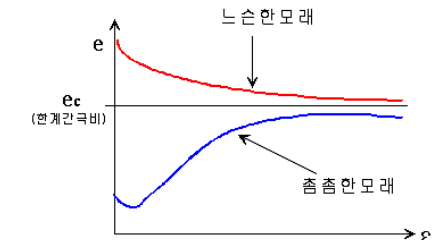
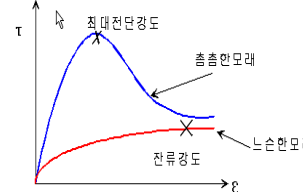
9.5.1 사질토의 전단강도

전단 저항은 마찰저항과 엇물림(interlocking)에 의해 발생



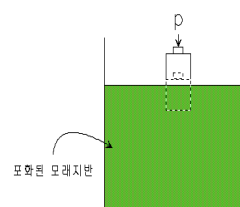
$$\epsilon = \frac{\Delta h}{l} \quad \tau = \frac{P}{A}$$

9.5.2 전단시 흙의 거동



9.5.3 액상화 현상

~ 포화된 모래지반에서 지진과 같이 일시에 충격을 가하면 체적변화가 방지되어 간극수압의 상승(Δu)으로 모래의 전단강도가 상실되는 현상



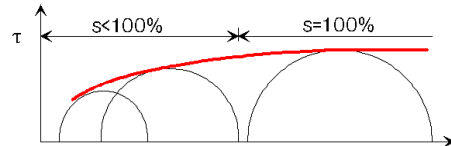
$$\tau_f = s = (\sigma - (u + \Delta u)) \cdot \tan\phi \approx 0 \Rightarrow \text{전단강도}=0(\text{액상화}), \text{쉽게 파괴}$$

◎ 일어날 조건

~ 입자가 둥글고, 실트 크기의 입자가 함유된 모래지반에서 많이 발생.

9.6 접성토의 전단강도

9.6.1UU시험에서의 전단강도



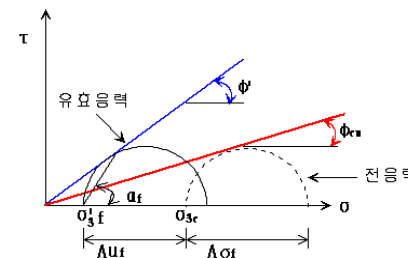
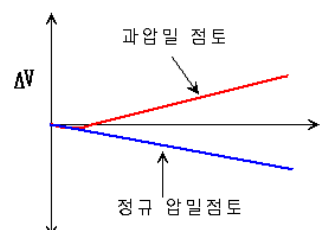
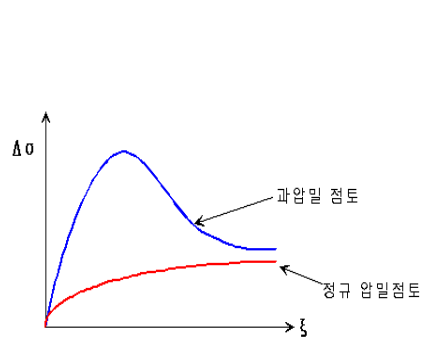
$S < 100\%$ 일 때 흙속의 공기가 구속응력의 크기에 따라 압축되므로 강도는 증가된다.

◆ 백 프레셔 (back pressure)

- ① 시료를 100% 포화시키기 위하여
- ② 현장의 정수압 조건을 묘사하기 위하여

• UU시험의 결과 적용

- $\phi_u = 0$ (비배수조건)
- 시공 직후의 안정 해석시 적용



에서 얻는 강도정수

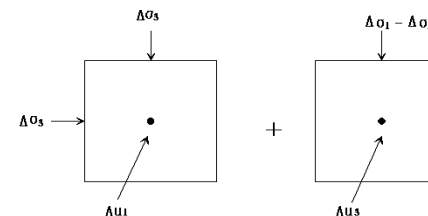
$$\sigma_{1f} = \sigma_c + \Delta\sigma_{af}$$

$$\sigma_{3f} = \sigma_c$$

$$\sigma_{1f}' = \sigma_{1f} - \Delta u_f$$

$$\sigma_{3f}' = \sigma_{3f} - \Delta u_f$$

9.7 간극수압 계수



$$\Delta u = \Delta u_1 + \Delta u_3$$

9.7.1 등방 압축으로 생기는 간극수압

$$\Delta u_1 = B \cdot \Delta \sigma_3$$

- 흙의 전체 체적 변화량(ΔV_v)

$$\frac{\Delta V_v}{V_0} = \frac{m_v}{\Delta \sigma} \Rightarrow \Delta V_v = m_v \cdot V_0 \cdot \Delta \sigma' = m_v \cdot V_0 (\Delta \sigma_3 - \Delta u)$$

- 간극의 체적 변화량 (ΔV_f)

$$m_f = \frac{\Delta V_f}{n V_0} \cdot \frac{1}{\Delta u}$$

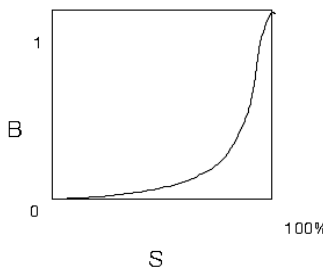
IF) 흙이 완전 포화이면 $m_f \rightarrow$ 물의 체적 변형계수
흙이 완전 건조이면 $m_f \rightarrow$ 공기의 체적 변형계수

* 흙이 자체의 압축성이 없으므로

$$\begin{aligned}\Delta V_v &= \Delta V_f \\ m_v \cdot V_0 (\Delta \sigma_3 - \Delta u) &= m_f \cdot n \cdot V_0 \cdot \Delta u \\ \therefore \Delta u &= \frac{m_v}{m_v + nm_f} \cdot \Delta \sigma_3\end{aligned}$$

IF) $S = 100\%$ 일 때 $m_f \approx 0 \Rightarrow B = 1$

$S = 0\%$ 일 때 $m_f \approx \infty \Rightarrow B = 0$



9.7.2 1축압축 일 때에 생기는 간극수압

- 흙 전체 체적 변화량

$$\begin{aligned}\Delta V_v &= \text{축방향 체적 변화량} + \text{횡방향 체적 팽창량} * 2 \\ &= m_v \cdot V_0 (\Delta \sigma_1 - \Delta u) + 2 m_e (0 - \Delta u) \cdot V_0 \\ &= m_v \cdot V_0 (\Delta \sigma_1 - \Delta u) - 2 m_e \cdot V_0 \cdot \Delta u\end{aligned}$$

- 간극 체적의 변화량 (ΔV_f)

$$\begin{aligned}\Delta V_v &= \Delta V_f \\ m_v \cdot V_0 (\Delta \sigma_1 - \Delta u) - 2 m_e \cdot V_0 \cdot \Delta u &= m_f \cdot n \cdot V_0 \cdot \Delta u \\ \rightarrow \Delta u &= \frac{m_v}{m_v + 2m_e + nm_f} \cdot \Delta \sigma_1\end{aligned}$$

9.7.3 3축 압축 때의 간극수압

$$\begin{aligned}\Delta u &= B \cdot \sigma_3 + D \cdot (\Delta \sigma_1 - \Delta \sigma_3) \\ &= B \cdot [\Delta \sigma_3 + A \cdot (\Delta \sigma_1 - \Delta \sigma_3)]\end{aligned}$$

IF) 3축 시험의 경우 $S = 100\%$ 일 때 ($B = 1, \Delta \sigma_3 = 0$)

$$A = -\frac{\Delta u}{\Delta \sigma_1}$$

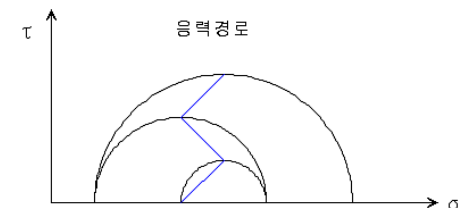
9.8 응력 경로

- 전응력 응력경로

$$\begin{aligned}p &= \frac{\sigma_1 + \sigma_3}{2} \\ q &= \frac{\sigma_1 - \sigma_3}{2}\end{aligned}$$

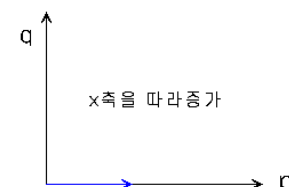
- 유효응력 응력경로

$$\begin{aligned}p' &= \frac{1}{2} \cdot [(\sigma_1 - u) + (\sigma_3 - u)] = p - u \\ q' &= \frac{1}{2} \cdot [(\sigma_1 - u) - (\sigma_3 - u)] = q\end{aligned}$$



① 등방압축 시험 경우

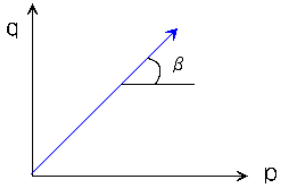
$$\begin{aligned}p &= \frac{\sigma_1 + \sigma_3}{2} \\ q &= \frac{\sigma_1 - \sigma_3}{2} = 0\end{aligned}$$



② 압밀 시험 경우

$$\begin{aligned}\sigma_v &= \frac{N}{A}, \quad k_0 = 1 - \sin\phi \\ p &= \frac{\sigma_1 + \sigma_3}{2} = \frac{(1 + k_0) \cdot \sigma_v}{2} \\ q &= \frac{\sigma_1 - \sigma_3}{2} = \frac{(1 - k_0) \cdot \sigma_v}{2}\end{aligned}$$

$$\tan\beta = \frac{\Delta q}{\Delta p} = \frac{1 - k_0}{1 + k_0}$$

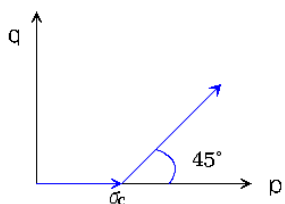


③ 3축 압축시험

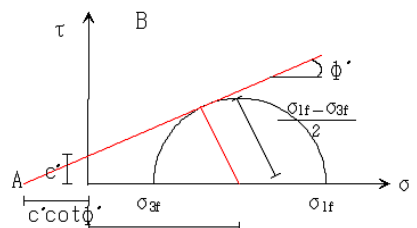
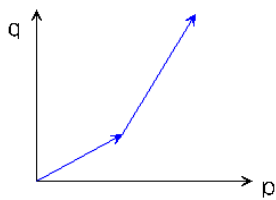
$$p = \frac{\sigma_1 + \sigma_3}{2} = -\frac{\Delta \sigma_{af}}{2} + \sigma_c$$

$$q = \frac{\sigma_1 - \sigma_3}{2} = \frac{\Delta \sigma_{af}}{2}$$

④ 직접 전단시험 경우



◆ M-C 이론에서....
(c', φ' & a' 관계)



$$\sin\phi' = \frac{BO}{AO} = \frac{\frac{\sigma_{1f} - \sigma_{3f}}{2}}{c' \cot\phi' + \frac{\sigma_{1f} + \sigma_{3f}}{2}}$$

$$\Rightarrow \frac{(\sigma_{1f} - \sigma_{3f})}{2} = c \cdot \cos\phi' + \sin\phi' \cdot \frac{\sigma_{1f} + \sigma_{3f}}{2} - (1)식$$

$$q = a' + \tan\alpha' \cdot p$$

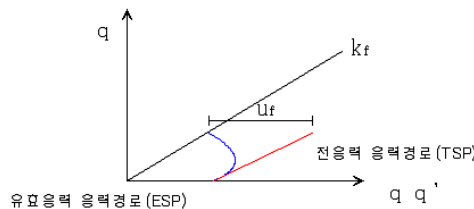
$$\frac{(\sigma_{1f} - \sigma_{3f})}{2} = a' + \tan\alpha' \cdot \frac{\sigma_{1f} + \sigma_{3f}}{2} - (2)식$$

(1)식과 (2)식을 비교하면

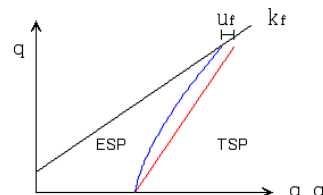
- $a' = c' \cdot \cos\phi'$
- $\tan\alpha' = \sin\phi'$

9.8.1 3축압밀 시험에 대한 응력경로

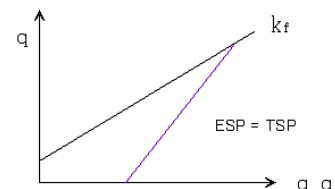
① 정규압밀 점토 경우($c = 0$)



② 과압밀 점토에 대한 CU시험



③ 과압밀 점토에 대한 CD시험



10.9 현장에서의 전단강도의 측정

9.9.1 표준 관입시험

- 1) 교란된 시료채취
- 2) 지반의 상대적 굳기평가

※ N치 측정 ~ 63.5kg의 추 해머로 76cm높이에서 자유낙하시켜 sampler가 30cm 관입하는데 걸리는 타격횟수.
sampler가 30cm 관입하는데 걸리는 타격횟수.

◎ N치 보정

- 1) 구속압에 대한 보정

$$N_{cor} = C_N \cdot N_f \quad (C_N = \text{보정계수}, N_f = \text{측정치})$$

- 2) 포화된 모래, 실트층에 대한 보정

if) $N > 15$

$$N_{cor} = 15 + \frac{(N_f - 15)}{2}$$

∴ 물의 저항에 의해 과대평가 경향 있음.

- 3) 롯드길이에 대한 보정

$$N_{cor} = N_f \left(1 - \frac{L}{200}\right) \quad (L = \text{롯드길이})$$

∴ 항타에너지 전달손실 때문에 (길이가 길수록 에너지가 손실)

◎ 모래지반에 대한 N치와 φ관계

by Peak

$$\phi = 0.3N + 27$$

9.9.2 콘 관입시험

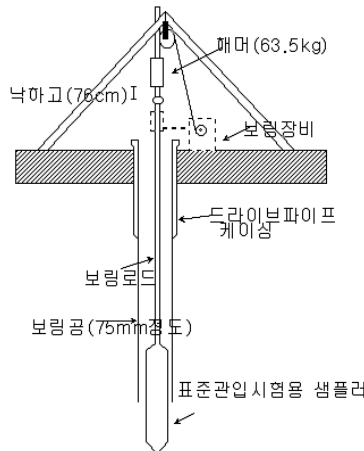
⇒ 연약지반의 상대적 굳기를 평가하는 시험

$$\text{콘관입저항치 } q_c = \frac{Q}{A_c}$$

$$\text{경험식: } s_u (= c_u) = (q_c - \sigma'_{vo}) / N_k$$

9.9.3 베인 전단시험

⇒ 연약지반에서 얇은 지층의 전단강도를 측정하기 위하여 개발된 시험



$$T(\text{측정토크}) = M_1 + M_2$$

$$M_1(\text{원통면적의 저항모멘트}) = \pi D H \cdot c_{uv} \cdot \frac{D}{2}$$

$$M_2(\text{아래, 위면적의 저항모멘트}) = 2 \cdot \frac{\pi D^2}{4} \cdot \frac{c_{uv}}{2} \cdot \frac{2D}{3} = \frac{\pi D^3 c_{uv}}{6}$$

$$\rightarrow T = \frac{\pi D^2 H}{2} \cdot c_{uv} + \frac{\pi D^3}{6} \cdot c_{uv}$$

$$\therefore c_{uv} = \frac{T}{\frac{\pi D^2 H}{2} + \frac{\pi D^3}{6}}$$

$$\Rightarrow \text{실험보정식: } s_u = \mu c_{uv}$$

9.10 포장설계에 적용되는 시험

9.10.1 CBR(California Bearing Ratio)

~ 도로 포장시 최적함수비로 다진 흙을 현장의 죄악상태로 만들고 관입량을 측정하여 기준값과 비교하는 시험

$$CBR(\%) = \frac{\text{시험단위하중}}{\text{표준단위하중}} \times 100$$

9.10.2 지반반력계수

~ 콘크리트 포장과 같은 강성 포장설계 및 성능을 평가하는 시험

$$k_s = \frac{\sigma}{s} \quad (\text{kg/cm}^3) \quad \text{at } s=0.25\text{cm or } 0.125\text{cm}$$

